

DAFTAR PUSTAKA

- Assauri, Sofjan. (2017). Manajemen pemasaran. Jakarta: Rajawali Pers.
- Desmonda Diera. (2018). Prediksi Besaran Curah Hujan Menggunakan Metode Fuzzy Time Series. *Jurnal Sistem dan Teknologi Informasi*. Vol. 6, No.4, 27036
- Fadholi Akhmad . (2013). Pemanfaatan Suhu Udara Dan Kelembaban Udara Dalam Persamaan Regresi Untuk Simulasi Prediksi Total Hujan Bulanan Di Pangkalpinang. *Jurnal Matematika Murni dan Aplikasi*, Vol 3. No 1,2565
- Firmansyah Agung Mohammad. (2021). Aplikasi Forecasting Penjualan Bahan Bangunan Menggunakan Trend Moment (Studi Kasus Di UD Hasil Bumi). *Jurnal Mahasiswa Teknik Informatika*. Vol 5 No.2
- Frans, J. A., Orisa, M., & Wibowo, S. A. (2020). Prediksi Penjualan Kayu Lapis Di Cv Diato Wood Sejahtera Dengan Metode Trend Moment Berbasis Web. *JATI (Jurnal Mahasiswa Teknik Informatika)*, 4(2), 183-190.
- Ghozali, I. (2016) Aplikasi Analisis Multivariate Dengan Program IBM SPSS 23. Edisi 8. Semarang: Badan Penerbit Universitas Diponegoro.
- Gustari. (2012). Akurasi Prediksi Curah Hujan Harian Operasional Di Jabodetabek : Perbandingan Dengan Model WRF. *Pusat Penelitian dan Pengembangan Badan Meteorologi Klimatologi dan Geofisika*. Vol 13. No.2,126
- Hanifah, A dan Endarwin (2011). Analisis Intensitas Curah hujan wilayah bandung pada awal 2010. *Jurnal Meteorologi dan Geofisika*. Vol 12. Hal 145-148.
- Harahap Marwaddah. (2022). Analisis Trend Dan Perkiraan Pandemi Covid-19 Di Indonesia Menggunakan Peramalan Metode Prophet : Sebelum dan Sesudah Aturan New Normal. *Jurnal Teknologi Informasi dan Ilmu Komputer*. Vol.9, Hal 51-60
- Heizer, J., Render, B. (2017). Manajemen Operasi edisi 11 . Jakarta: Salemba Empat.
- Juliandi, Azuar et al. 2014. Metodologi Penelitian Bisnis : Konsep dan Aplikasi, UMSU Press, Medan.
- Luthfiarta Ardytha. (2019). Analisa Prakiran Cuaca dengan Parameter Suhu, Kelembaban, Tekanan Udara dan Kecepatan Angin Menggunakan Regresi Linier Berganda. *Journal of Information System* Vol. 5 No. 1, Hal 10-17.
- Pujilestari, Sri. (2017). Pemilihan Model Regresi Linier Berganda Terbaik Pada Kasus Multikolinieritas Berdasarkan Metode Principal Component Analysis (PCA) dan Metode Stepwise. *UNNES Jurnal of Mathematics*.
- Saleh, M. N. (2017). Implementasi Peramalan Menggunakan Fuzzy Time Series pada Aplikasi Helpdesk Inventaris Perangkat Teknologi Informasi. *Jurnal Sistem dan Teknologi Informasi (JUSTIN)* Vol.1, No.2

Santi, I. H., & Saputra, A. R. (2019). Prediksi Jumlah Permintaan Telur Ayam Menggunakan Metode Trend Moment. *Informatika Mulawarman Jurnal Ilmu Komputer*, 14(2), 111

Subagyo, Pangestu, 1986, *Forecasting Konsep dan Aplikasi*, Yogyakarta, BPPE U





Lampiran Dataset



ID WMO	: 96745		
Nama Stasiun	: Stasiun Meteorologi Kemayoran		
Lintang	: -6.15559		
Bujur	: 106.84000		
Elevasi	: 4		

Data set Suhu rerata, Kelembaban rerata dan curah hujan harian sumber dari Stasiun Meteorologi Kemayoran BMKG.

Tanggal	Tavg	RH_avg	RR
01-01-2020	26,8	90	145,3
02-01-2020	27,6	80	58,8
03-01-2020	28,5	77	
04-01-2020	28,3	82	2,5
05-01-2020	27,9	85	0,2
06-01-2020	27	87	18,2
07-01-2020	26,9	89	15
08-01-2020	28,2	80	2,8
09-01-2020	27,7	85	28,7
10-01-2020	25,9	90	23,6
11-01-2020	26,5	87	20,4
12-01-2020	27,9	80	4,3
13-01-2020	27,5	82	1,5
14-01-2020	28,5	80	0,5
15-01-2020	27,9	82	33,8
16-01-2020	28,2	83	0
17-01-2020	28,4	82	8888
18-01-2020	27,5	81	78,5
19-01-2020	28,1	78	3,8
20-01-2020	28,4	83	
21-01-2020	28,6	82	2,4
22-01-2020	29	80	0,3
23-01-2020	28,3	83	74
24-01-2020	26,8	92	7,8
25-01-2020	27,1	89	123,7
26-01-2020	28,2	84	7,4
27-01-2020	28,3	80	12,3
28-01-2020	29	76	4,2
29-01-2020	29,5	80	0
30-01-2020	27,4	82	22
31-01-2020	28,3	84	
01-02-2020	26,1	92	48,5
02-02-2020	26,8	88	128,9

03-02-2020	27	87	16,6
04-02-2020	27	86	20,9
05-02-2020	27,8	84	0,5
06-02-2020	26,7	89	6,6
07-02-2020	26,6	90	0,6
08-02-2020	26,7	86	125,2
09-02-2020	26,4	85	9
10-02-2020	29,1	76	18,6
11-02-2020	29,9	72	
12-02-2020	29,5	74	0
13-02-2020	28,6	77	
14-02-2020	27,6	84	
15-02-2020	28,3	83	4,7
16-02-2020	27,4	85	
17-02-2020			26,5
18-02-2020	27,6	84	7,2
19-02-2020	27,5	83	17,7
20-02-2020	27,1	87	31
21-02-2020	28	82	57
22-02-2020	28,1	84	56,8
23-02-2020	28,3	84	125,7
24-02-2020	28,6	81	6,6
25-02-2020	27,1	88	277,5
26-02-2020	28,6	80	3
27-02-2020			22
28-02-2020	27,4	88	31,5
29-02-2020	27,3	91	0,6
01-03-2020	27,7	89	12
02-03-2020	28,7	81	63,6
03-03-2020	28,8	79	8888
04-03-2020	28,5	82	8888
05-03-2020	28	79	19,6
06-03-2020	28,8	78	2
07-03-2020	28,8	73	
08-03-2020	28,6	77	
09-03-2020	29,7	71	8888
10-03-2020	30,1	71	
11-03-2020	29,6	78	
12-03-2020	27,6	85	7,7
13-03-2020	28,5	76	29,2
14-03-2020	29,4	79	0
15-03-2020	29,3	80	2
16-03-2020	28,9	77	3,6
17-03-2020	28,9	78	4,8
18-03-2020	27,6	86	0,4

19-03-2020	28,1	83	0,2
20-03-2020	27,4	82	16
21-03-2020	28,1	81	10,8
22-03-2020	27,2	84	17,6
23-03-2020	28,2	81	22,5
24-03-2020	28,8	78	0,4
25-03-2020	28,4	81	0,3
26-03-2020	28,8	78	
27-03-2020	28,7	81	0,9
28-03-2020	29	81	0
29-03-2020	29,4	78	0
30-03-2020	27,7	84	0
31-03-2020	28,1	84	7,1
01-04-2020	28,1	80	21,5
02-04-2020	29,8	73	0
03-04-2020	29,3	77	0,1
04-04-2020	28,9	81	5,5
05-04-2020	28,5	79	8888
06-04-2020	27,3	86	0
07-04-2020	28,6	77	30,6
08-04-2020	28,8	78	
09-04-2020	28,9	81	0,3
10-04-2020	28,3	83	8888
11-04-2020	29,4	78	13,8
12-04-2020	29,6	77	
13-04-2020	27,7	90	14,5
14-04-2020	28	85	72
15-04-2020	28,1	86	5,4
16-04-2020	29	80	
17-04-2020	29,7	76	
18-04-2020	28,7	77	0
19-04-2020	29,6	76	
20-04-2020	30	78	0
21-04-2020	30	76	
22-04-2020	30,4	70	
23-04-2020	30,8	73	
24-04-2020	29,3	77	
25-04-2020	29,1	74	
26-04-2020	29,4	77	
27-04-2020	27,7	84	13,5
28-04-2020	27,8	82	1,2
29-04-2020	28,3	78	4,4
30-04-2020	28,6	82	
01-05-2020	28,8	80	
02-05-2020	27,1	85	8888

03-05-2020	29,3	76	1
04-05-2020	28,7	79	
05-05-2020	29,6	76	1,6
06-05-2020	29,6	79	
07-05-2020	30,2	72	0,2
08-05-2020	30,2	73	
09-05-2020	28,4	82	
10-05-2020	28,8	81	1
11-05-2020	29,3	78	0
12-05-2020	30,3	75	
13-05-2020	29,9	79	3,8
14-05-2020	29,4	76	
15-05-2020	30	70	
16-05-2020	30,2	70	
17-05-2020	29,9	75	0
18-05-2020	28,2	84	
19-05-2020	28,7	76	12,8
20-05-2020	29,7	75	
21-05-2020	28,9	80	29
22-05-2020	29,7	81	0
23-05-2020	29,6	73	0
24-05-2020	31,2	65	
25-05-2020	30,4	72	
26-05-2020	29,9	73	1
27-05-2020	29,5	74	0
28-05-2020	29,8	76	
29-05-2020	29,6	78	
30-05-2020	29,6	76	
31-05-2020	29,4	73	0
01-06-2020	30,3	73	0,6
02-06-2020	29,6	74	
03-06-2020	28,7	80	4,5
04-06-2020	29,5	72	0
05-06-2020	29,7	74	
06-06-2020	28,9	76	0,2
07-06-2020	29,9	71	
08-06-2020	29,5	75	0
09-06-2020	28,7	80	0
10-06-2020	29,4	78	8888
11-06-2020	29,8	75	0
12-06-2020			3,5
13-06-2020	29,4	74	
14-06-2020	30,3	72	
15-06-2020	30,1	76	
16-06-2020	30	73	0

17-06-2020	30,3	69	
18-06-2020	29,9	74	
19-06-2020	29,3	75	
20-06-2020	29,3	74	5,8
21-06-2020	28,9	77	0
22-06-2020	28,8	77	
23-06-2020	28	80	6,5
24-06-2020	28,7	73	0
25-06-2020	29,6	70	
26-06-2020	28,9	78	0
27-06-2020	29,3	75	
28-06-2020	29,5	71	0
29-06-2020	29,8	68	0
30-06-2020	29,7	72	
01-07-2020	29,8	70	0
02-07-2020	27,3	81	
03-07-2020	28,5	74	
04-07-2020	29,1	73	
05-07-2020	28,5	69	
06-07-2020	29	66	0
07-07-2020	28,3	75	
08-07-2020	29	73	
09-07-2020	27,8	77	
10-07-2020	27,7	79	9
11-07-2020	28,3	80	1,9
12-07-2020	28,8	77	
13-07-2020	29,1	72	
14-07-2020	29,4	74	0
15-07-2020	27,3	82	
16-07-2020	28,4	79	0,2
17-07-2020	28,6	77	1
18-07-2020	28,8	74	0
19-07-2020	29	73	
20-07-2020	29,2	74	0
21-07-2020	28,9	74	0
22-07-2020	29,4	72	0
23-07-2020	29,4	70	0
24-07-2020	29,2	71	
25-07-2020	28,7	72	
26-07-2020	28,4	64	0
27-07-2020	28,4	65	0
28-07-2020	28,4	68	
29-07-2020	28,3	67	
30-07-2020	28,2	70	0
31-07-2020	28	60	0

01-08-2020	27,7	69	
02-08-2020	28,2	69	
03-08-2020	29,5	69	0
04-08-2020	29,5	70	0
05-08-2020	28,5	73	
06-08-2020	29,1	73	
07-08-2020	28,8	77	0
08-08-2020	29,3	75	0
09-08-2020	28,6	80	32
10-08-2020	29	78	0,5
11-08-2020	29,2	74	0
12-08-2020	29	74	8888
13-08-2020	27,1	83	
14-08-2020	27,5	82	68,3
15-08-2020	28,5	79	
16-08-2020	29,1	75	0
17-08-2020	29,4	71	
18-08-2020	28,3	77	0,2
19-08-2020	29	75	0
20-08-2020	29,3	75	0
21-08-2020	29	68	
22-08-2020	29	64	0
23-08-2020	29,5	66	0
24-08-2020	29,5	68	0
25-08-2020	29	64	
26-08-2020	29,1	67	0
27-08-2020	29	64	
28-08-2020	29,3	64	0
29-08-2020	29,9	64	0
30-08-2020	29,2	68	
31-08-2020	29,3	68	0
01-09-2020	29,9	61	0
02-09-2020	29,1	70	
03-09-2020	28,9	71	1,4
04-09-2020	30,2	68	
05-09-2020	29,6	74	
06-09-2020	29	71	0
07-09-2020	29,7	66	
08-09-2020	30	64	0
09-09-2020	30,3	62	0
10-09-2020	29,5	71	
11-09-2020	29,3	70	
12-09-2020	29,2	72	0
13-09-2020	29,2	67	0
14-09-2020	28,9	71	8888

15-09-2020			
16-09-2020			
17-09-2020			
18-09-2020			
19-09-2020			
20-09-2020			
21-09-2020			
22-09-2020			
23-09-2020			
24-09-2020			
25-09-2020			
26-09-2020			
27-09-2020			
28-09-2020	29,4	70	2,5
29-09-2020	29,7	64	0
30-09-2020	30,3	64	
01-10-2020	30,3	70	
02-10-2020	29,4	72	0
03-10-2020	27,8	78	0
04-10-2020	28,4	74	12,5
05-10-2020	28,8	68	17,3
06-10-2020	28,8	67	
07-10-2020	29,7	68	0
08-10-2020	29,3	71	
09-10-2020	28,7	77	8
10-10-2020	28,8	75	0
11-10-2020	28,5	77	6,6
12-10-2020	29,7	68	
13-10-2020	29,5	70	
14-10-2020	29,8	70	0
15-10-2020	30	67	0
16-10-2020	28,4	75	
17-10-2020	28,7	75	48,5
18-10-2020	28,8	75	0
19-10-2020	28,6	79	0
20-10-2020	28,6	78	10,5
21-10-2020	27,3	82	24,6
22-10-2020	28,8	76	57,6
23-10-2020	29,8	68	0
24-10-2020	29,2	72	
25-10-2020	28,2	78	
26-10-2020	27,4	82	0,8
27-10-2020	27	82	5,4
28-10-2020	28,3	80	15
29-10-2020	29,4	74	1,5

30-10-2020	29,1	76	
31-10-2020	28,1	77	0
01-11-2020	27,7	81	5,5
02-11-2020	28,6	75	7
03-11-2020	28,8	74	0
04-11-2020	28,6	74	8888
05-11-2020	27,3	83	3
06-11-2020	27,7	86	5
07-11-2020	28,9	80	10
08-11-2020	27,8	80	
09-11-2020	29,1	71	1
10-11-2020	29,5	77	0
11-11-2020	29,9	72	0
12-11-2020	29,8	74	3,6
13-11-2020	30,4	76	
14-11-2020	30,5	71	
15-11-2020	30,7	68	0
16-11-2020	29,7	74	0
17-11-2020	29,3	78	
18-11-2020	29,3	76	
19-11-2020	30,2	72	8888
20-11-2020	29,7	77	0
21-11-2020	29,2	76	8888
22-11-2020	28,5	77	0
23-11-2020	28	81	0
24-11-2020	28,1	77	1
25-11-2020	28,3	78	15
26-11-2020	28,7	77	26
27-11-2020	29,4	70	0
28-11-2020	28,5	79	9
29-11-2020	28,4	74	0,2
30-11-2020	27,8	76	1
01-12-2020	29,4	70	8888
02-12-2020	29,4	70	
03-12-2020	26,9	79	5
04-12-2020	27,8	80	1,4
05-12-2020	27,5	80	14,4
06-12-2020	26	90	32,5
07-12-2020	26,1	88	34,8
08-12-2020	28,4	78	7,2
09-12-2020	28,9	75	9,3
10-12-2020	27,8	80	
11-12-2020	28,1	80	0,4
12-12-2020	27,7	78	4,8
13-12-2020	27	83	8888

14-12-2020	28	76	8888
15-12-2020	27,7	78	
16-12-2020	28,1	76	9
17-12-2020	27,5	79	6
18-12-2020	28,3	74	
19-12-2020	28,2	74	
20-12-2020	27,2	81	8888
21-12-2020	27,4	76	4,2
22-12-2020	28,6	73	8888
23-12-2020	29,6	65	0
24-12-2020	28,9	68	0
25-12-2020	29,3	67	8888
26-12-2020	28,9	70	0,7
27-12-2020	29,4	70	8888
28-12-2020	29,1	70	
29-12-2020	28,3	73	0
30-12-2020	28	75	
31-12-2020	26,5	83	5
01-01-2021	27	80	13,8
02-01-2021	27,6	78	8888
03-01-2021	27,9	77	
04-01-2021	28,8	75	9,4
05-01-2021	28,4	76	0
06-01-2021	27,2	85	8,2
07-01-2021	26,8	84	40,5
08-01-2021	27,1	85	2
09-01-2021	26,4	87	14,4
10-01-2021	27,1	82	34,3
11-01-2021	27,8	78	
12-01-2021	27,3	82	
13-01-2021	27,2	83	13,2
14-01-2021	27,4	81	0,2
15-01-2021	27,9	79	8888
16-01-2021	29,2	70	
17-01-2021	27,9	82	0
18-01-2021	26,8	86	1,8
19-01-2021	26,7	82	15,7
20-01-2021	27,3	80	14
21-01-2021	26,6	87	3,2
22-01-2021	27	79	8,5
23-01-2021	27,4	82	0
24-01-2021	25,1	94	16,5
25-01-2021	27,6	80	43,8
26-01-2021	27,4	83	0
27-01-2021	25,9	86	7

28-01-2021	25,7	87	1,2
29-01-2021	26,2	87	38,4
30-01-2021	26,6	86	26,2
31-01-2021	26,6	87	20,5
01-02-2021	27,1	82	0,4
02-02-2021	27,4	83	16,4
03-02-2021	26,5	89	76,2
04-02-2021	26,5	87	18
05-02-2021	27	85	21
06-02-2021	28,2	80	39,4
07-02-2021	27,8	82	67,8
08-02-2021	28	83	9
09-02-2021	27,2	87	16,5
10-02-2021	28,1	80	1,4
11-02-2021	27,6	81	8888
12-02-2021	27,4	82	4,2
13-02-2021	27,9	79	0,8
14-02-2021	27,3	88	22,3
15-02-2021	27,4	86	11,8
16-02-2021	25,5	95	59
17-02-2021	26	85	72,8
18-02-2021	25,8	86	0
19-02-2021	26,6	82	94,1
20-02-2021	27,9	78	27
21-02-2021	27,2	82	16,4
22-02-2021	27,9	78	0
23-02-2021	27,9	80	0
24-02-2021	27,3	77	0,3
25-02-2021	27,3	85	11,8
26-02-2021	26,8	86	13,9
27-02-2021	28,1	82	3,9
28-02-2021	29,5	70	
01-03-2021	29,3	72	0,2
02-03-2021	27,3	82	20,4
03-03-2021	27,7	82	35,2
04-03-2021	28,3	78	1,3
05-03-2021	27,4	82	3
06-03-2021	26,8	86	0,6
07-03-2021	27,1	85	67,2
08-03-2021	27	80	2
09-03-2021	27,3	80	3,4
10-03-2021	27,4	83	40,6
11-03-2021	26	82	35,1
12-03-2021	27,4	83	1
13-03-2021	28,7	74	0,1

14-03-2021	26,9	79	2,6
15-03-2021	27,6	84	5,2
16-03-2021	27,8	82	
17-03-2021	28,1	76	13,6
18-03-2021	29	74	0
19-03-2021	28,9	76	0
20-03-2021	27,8	80	
21-03-2021	28,4	79	4
22-03-2021	29,3	73	
23-03-2021	29,1	75	0
24-03-2021	28,9	72	
25-03-2021	28,8	72	
26-03-2021	28,8	76	0
27-03-2021	28,3	82	0
28-03-2021	28,8	79	4,5
29-03-2021	28,3	82	
30-03-2021	27,8	86	3,5
31-03-2021	28,5	79	0,6
01-04-2021	27,8	76	4
02-04-2021	29	73	
03-04-2021	26,9	88	73,4
04-04-2021	27,7	84	1,6
05-04-2021	28,5	78	
06-04-2021	29	71	
07-04-2021	27,8	76	0,8
08-04-2021	29,1	75	0,9
09-04-2021	28,6	78	
10-04-2021	27,6	81	6
11-04-2021	28,1	77	0
12-04-2021	28,7	74	1,2
13-04-2021	28	80	25,5
14-04-2021	28	81	8888
15-04-2021	27,3	82	3,4
16-04-2021	28,3	78	2,7
17-04-2021	27,6	84	
18-04-2021	28,6	78	27,7
19-04-2021	28,7	76	0
20-04-2021	29,1	73	0
21-04-2021	29,3	72	
22-04-2021	29,3	68	
23-04-2021	28,2	76	0
24-04-2021	28,5	74	10,5
25-04-2021	29,3	73	
26-04-2021	30,2	70	
27-04-2021	29,9	73	0

28-04-2021	28,8	78	0
29-04-2021	29	76	56,2
30-04-2021	28,6	80	
01-05-2021	29,7	76	0
02-05-2021	29,8	76	0
03-05-2021	29,7	76	
04-05-2021	29,5	72	
05-05-2021	29,5	78	0
06-05-2021	27,6	81	36,8
07-05-2021	28,8	80	4
08-05-2021	29,2	78	0,4
09-05-2021	28,4	80	47
10-05-2021	29,7	76	3,5
11-05-2021	29,9	73	
12-05-2021	30,1	74	
13-05-2021	29,6	76	0
14-05-2021	29,8	71	
15-05-2021	29,8	72	
16-05-2021	30,1	72	0
17-05-2021	29,8	75	0
18-05-2021	27,3	82	92,2
19-05-2021	29,1	77	
20-05-2021	29,6	74	
21-05-2021	29,1	77	0,2
22-05-2021	28,9	76	0
23-05-2021	29,1	76	8888
24-05-2021	29,5	77	
25-05-2021	28,5	77	10
26-05-2021	29,1	76	0
27-05-2021	29,7	73	0
28-05-2021	29,8	74	0
29-05-2021	27,5	83	
30-05-2021	28,5	80	9,5
31-05-2021	29,3	79	
01-06-2021	28,8	81	
02-06-2021	29	80	0,2
03-06-2021	28,9	83	0
04-06-2021	30,2	77	6,7
05-06-2021	29,3	78	8888
06-06-2021	29,5	78	0
07-06-2021	28,1	80	31,4
08-06-2021	29,1	76	
09-06-2021	29,1	77	2,2
10-06-2021	29,4	76	0
11-06-2021	28,7	79	0

12-06-2021	28,9	78	16
13-06-2021	29,5	76	1
14-06-2021	28,7	78	8888
15-06-2021	28,1	78	0,4
16-06-2021	28,1	80	
17-06-2021	27,8	83	1,4
18-06-2021	27,4	84	0,2
19-06-2021	26	92	0,9
20-06-2021	27	83	16,7
21-06-2021	26,5	85	1,6
22-06-2021	27,6	79	8888
23-06-2021	27,8	81	0
24-06-2021	27,3	81	
25-06-2021	28,5	78	8888
26-06-2021	29	78	0
27-06-2021	28,9	78	0
28-06-2021	28,4	78	8888
29-06-2021	28,5	74	
30-06-2021	27,5	82	0,4
01-07-2021	26,3	86	1
02-07-2021	28,3	75	12
03-07-2021	29	73	0
04-07-2021	29	74	
05-07-2021	28,6	76	0
06-07-2021	28,6	74	
07-07-2021	28,5	70	
08-07-2021	28,5	69	0
09-07-2021	29,3	71	0
10-07-2021	29,6	73	
11-07-2021	29	77	
12-07-2021	29,3	69	0
13-07-2021	27,5	78	0
14-07-2021	28,1	75	
15-07-2021	28,3	75	8888
16-07-2021	28,7	68	0
17-07-2021	29,2	69	0
18-07-2021	28,6	72	
19-07-2021	29	75	
20-07-2021	28,4	79	8888
21-07-2021	28,7	77	0
22-07-2021	28,3	78	8888
23-07-2021	27,1	82	17,8
24-07-2021	27,8	81	2,5
25-07-2021	27,7	79	2,5
26-07-2021	28,3	69	

27-07-2021	28,4	66	
28-07-2021	28,5	64	0
29-07-2021	28,6	67	0
30-07-2021	29	72	
31-07-2021	29	70	
01-08-2021	28,3	78	3,3
02-08-2021	28,6	76	0
03-08-2021	28,7	75	
04-08-2021	29,1	70	
05-08-2021	27,4	81	0
06-08-2021	28,3	72	6,2
07-08-2021	29	74	
08-08-2021	29,3	74	
09-08-2021	29,6	75	0
10-08-2021	27,1	84	66,5
11-08-2021	28,7	74	8888
12-08-2021	29,1	64	
13-08-2021	28,2	76	0
14-08-2021	29,1	72	0
15-08-2021	29,6	68	
16-08-2021	29,4	67	
17-08-2021	29,3	71	0
18-08-2021	28,8	73	0
19-08-2021	28,2	75	
20-08-2021	28,6	72	
21-08-2021	27,6	77	3,7
22-08-2021	28,8	74	
23-08-2021	28,8	77	
24-08-2021	29,1	72	
25-08-2021	28,5	68	8888
26-08-2021	28,9	66	0
27-08-2021	28,6	71	
28-08-2021	29,8	63	
29-08-2021	28,6	72	0
30-08-2021	28,7	77	
31-08-2021	29,3	79	
01-09-2021	29,4	70	
02-09-2021	28,9	71	0
03-09-2021	29	70	0
04-09-2021	28,7	70	
05-09-2021	29,6	67	
06-09-2021	29,6	72	0
07-09-2021	28,8	74	0
08-09-2021	27,9	78	6,9
09-09-2021	27,8	74	22

10-09-2021	28,5	64	0
11-09-2021	29,1	70	0
12-09-2021	28,8	76	0
13-09-2021	29,3	73	
14-09-2021	25,8	89	36,7
15-09-2021	28	82	5,7
16-09-2021	29,2	77	
17-09-2021	29,7	72	0
18-09-2021	30,5	63	
19-09-2021	28,6	76	0
20-09-2021	28,8	72	17
21-09-2021	28,8	71	
22-09-2021	29,5	69	
23-09-2021	29,7	69	0
24-09-2021	29,9	69	
25-09-2021	29,9	73	
26-09-2021	29,7	74	0
27-09-2021	29,1	79	17,6
28-09-2021	29	80	7,5
29-09-2021	29,4	74	
30-09-2021	29,6	72	0
01-10-2021	29,1	75	1,5
02-10-2021	28,9	75	
03-10-2021	29,1	69	
04-10-2021	28,4	75	0
05-10-2021	29	66	16,2
06-10-2021	28,7	77	
07-10-2021	29,3	66	
08-10-2021	28,7	72	
09-10-2021	29,6	70	0
10-10-2021	29,8	72	
11-10-2021	29,3	70	
12-10-2021	29,5	68	0
13-10-2021	30,1	68	0
14-10-2021	29,5	72	
15-10-2021	30,2	71	0
16-10-2021	30,1	70	
17-10-2021	30,4	72	
18-10-2021	26	90	55,3
19-10-2021	27,7	77	20,7
20-10-2021	29	74	0
21-10-2021	28,5	83	46,5
22-10-2021	29,1	77	4
23-10-2021	29,3	72	
24-10-2021	30	73	0

25-10-2021	29	75	0
26-10-2021	29,8	72	8888
27-10-2021	28,7	80	1,2
28-10-2021	27,3	86	28,1
29-10-2021	28,6	74	7,8
30-10-2021	29,3	73	
31-10-2021	28,9	77	0,8
01-11-2021	27,7	84	8888
02-11-2021	28,6	76	2
03-11-2021	28,5	78	
04-11-2021	29	77	0,6
05-11-2021	27,9	82	8888
06-11-2021	29,4	76	2
07-11-2021	27,6	84	
08-11-2021	28,3	79	19,2
09-11-2021	29,4	78	
10-11-2021	28,6	76	1,9
11-11-2021	28,3	77	2
12-11-2021	28,5	74	0
13-11-2021	27,5	85	26,4
14-11-2021	29,4	76	30,3
15-11-2021	27,7	80	1
16-11-2021	29,8	67	8888
17-11-2021	30	71	2,4
18-11-2021	29,8	71	
19-11-2021	27,9	74	
20-11-2021	27,9	78	8888
21-11-2021	29,4	73	7
22-11-2021	29,3	74	0
23-11-2021	27,9	76	8888
24-11-2021	29,3	62	8888
25-11-2021	29,1	73	0
26-11-2021	28,2	80	8888
27-11-2021	27,6	78	34
28-11-2021	28,1	74	5
29-11-2021	28,4	76	0,3
30-11-2021	28,9	75	0
01-12-2021	29,7	66	
02-12-2021	31	64	0
03-12-2021	29,3	74	
04-12-2021	27,4	78	0
05-12-2021	26,6	82	2,5
06-12-2021	27,5	80	11,9
07-12-2021	26,4	86	65,6
08-12-2021	28,5	80	1,5

09-12-2021	27,5	87	30,5
10-12-2021	28,4	81	0,6
11-12-2021	27,3	84	1,6
12-12-2021	28,9	76	8888
13-12-2021	29	76	
14-12-2021	28,6	79	
15-12-2021	28,7	79	7,4
16-12-2021	28,3	81	8888
17-12-2021	28,4	79	8888
18-12-2021	28,5	76	0,4
19-12-2021	29,1	80	2,4
20-12-2021	27,9	84	0
21-12-2021	26,8	88	1,5
22-12-2021	28,2	80	6,8
23-12-2021	26,2	88	0
24-12-2021	28	78	19,7
25-12-2021	28,1	81	
26-12-2021	27,3	78	9,4
27-12-2021	28,2	77	
28-12-2021	28,2	82	8888
29-12-2021	27,5	84	9
30-12-2021	28	84	0
31-12-2021	29,3	77	0,8
01-01-2022	28,9	75	0,5
02-01-2022	28,2	82	0
03-01-2022	29,2	72	0
04-01-2022	28,9	71	
05-01-2022	29,4	75	0
06-01-2022	27,9	86	34,5
07-01-2022	29,3	74	6,8
08-01-2022	28,6	77	0,3
09-01-2022	29,1	77	0
10-01-2022	28,3	78	
11-01-2022	26,9	86	24
12-01-2022	26,7	87	27,2
13-01-2022	27,2	84	15,6
14-01-2022	26,5	88	13
15-01-2022	26,7	86	4
16-01-2022	27,4	87	0
17-01-2022	28,1	82	12,8
18-01-2022	26,3	92	8,1
19-01-2022	27,3	84	204
20-01-2022	26,2	83	6,6
21-01-2022	27,6	79	8888
22-01-2022	27,3	82	6

23-01-2022	29,3	75	3,2
24-01-2022	29,6	72	0
25-01-2022	28,8	80	0
26-01-2022	27,2	83	5,2
27-01-2022	28,1	80	8888
28-01-2022	28,7	78	5,2
29-01-2022	27,9	80	0
30-01-2022	28	81	
31-01-2022	28	78	0
01-02-2022	28,5	81	
02-02-2022	28	82	4
03-02-2022	28,7	78	0
04-02-2022	26,9	86	88,3
05-02-2022	26	90	16,3
06-02-2022	27,9	81	41,5
07-02-2022	27,6	82	10
08-02-2022	26,5	91	6,5
09-02-2022	26,5	83	63,8
10-02-2022	27,4	78	1,2
11-02-2022	27,7	79	
12-02-2022	27,8	81	0,4
13-02-2022	27,2	85	0
14-02-2022	26,5	86	8888
15-02-2022	27,1	88	23,5
16-02-2022	28,4	77	2,4
17-02-2022	27,3	85	47,5
18-02-2022	27,4	88	0,8
19-02-2022	28	84	2,7
20-02-2022	27,9	83	2,8
21-02-2022	28,5	74	0,8
22-02-2022	29,3	74	3
23-02-2022	27,6	79	1
24-02-2022	28,6	67	17,8
25-02-2022	27,7	73	0
26-02-2022	27,9	75	2,5
27-02-2022	27,5	79	
28-02-2022	28,1	78	1
01-03-2022	26,5	86	12,6
02-03-2022	27	84	5,2
03-03-2022	28,3	78	6,6
04-03-2022	28,1	78	3,7
05-03-2022	27,1	78	
06-03-2022	27,9	77	12,1
07-03-2022	29,1	71	0
08-03-2022	27,8	80	

09-03-2022	28,1	80	0,5
10-03-2022	28,5	77	
11-03-2022	27,5	85	
12-03-2022	27	89	7,5
13-03-2022	28	85	34,5
14-03-2022	28,7	80	2,6
15-03-2022	27,5	85	2,5
16-03-2022	28,7	77	6,2
17-03-2022	28,7	84	0,2
18-03-2022	29,2	79	0,4
19-03-2022	29,5	73	
20-03-2022	30	64	0
21-03-2022	29,7	69	0
22-03-2022	29,1	74	
23-03-2022	27,7	80	1,5
24-03-2022	28,3	78	5,3
25-03-2022	29,2	78	0
26-03-2022	26,6	88	
27-03-2022	27,5	85	22,5
28-03-2022	28	81	14,4
29-03-2022	29,3	74	0
30-03-2022	29,1	76	
31-03-2022	28,9	78	
01-04-2022	28,5	76	0
02-04-2022	27,4	82	3,8
03-04-2022	26,7	83	18
04-04-2022	28,3	78	27,3
05-04-2022	27,6	81	0
06-04-2022	28,5	74	54
07-04-2022	28,9	76	8888
08-04-2022	28	76	8888
09-04-2022	28,5	73	45,7
10-04-2022	29,3	74	0
11-04-2022	28,2	78	
12-04-2022	28,6	80	30
13-04-2022	28,8	80	1,7
14-04-2022	28,7	79	0,4
15-04-2022	29,9	81	
16-04-2022	29,2	75	
17-04-2022	29,7	77	0,6
18-04-2022	29,4	80	16
19-04-2022	28,6	78	
20-04-2022	28,8	76	0,4
21-04-2022	27,4	84	4
22-04-2022	26,4	88	11

23-04-2022	28,5	80	5,7
24-04-2022	28,9	78	5
25-04-2022	29,5	75	0,8
26-04-2022	29,4	77	26,4
27-04-2022	29,1	78	8888
28-04-2022	27,6	83	7,5
29-04-2022	29,3	78	8888
30-04-2022	28,4	81	0
01-05-2022	29	82	
02-05-2022	27,5	85	8888
03-05-2022	28,2	83	18,6
04-05-2022	29	78	
05-05-2022	29,5	77	0
06-05-2022	30,2	74	
07-05-2022	29,9	77	0
08-05-2022	30,1	72	0
09-05-2022	29,9	74	
10-05-2022	29,9	76	8888
11-05-2022	28,9	80	18,2
12-05-2022	29,2	76	0
13-05-2022	29,3	78	15,8
14-05-2022	29,2	81	13
15-05-2022	29	82	0
16-05-2022	28,6	78	6,5
17-05-2022	29,5	78	8888
18-05-2022	28,7	80	
19-05-2022	28	84	35,2
20-05-2022	27,4	84	9,4
21-05-2022	27,9	82	20
22-05-2022	27,8	82	
23-05-2022	29	79	0
24-05-2022	29,7	72	0
25-05-2022	28,3	83	0,2
26-05-2022	27,3	84	1
27-05-2022	28,2	80	8888
28-05-2022	25,6	86	18,6
29-05-2022	26,8	83	27,3
30-05-2022	27,3	82	0,3
31-05-2022	27,4	80	0
01-06-2022	29	72	0
02-06-2022	28,4	79	
03-06-2022	28,2	79	32,6
04-06-2022	28,8	76	0
05-06-2022	28,6	78	0
06-06-2022	27,6	79	8888

07-06-2022	28,1	78	0,5
08-06-2022	27,3	87	13,6
09-06-2022	26,7	86	0,5
10-06-2022	28,1	77	5
11-06-2022	28,2	84	2,5
12-06-2022	27,8	81	8888
13-06-2022	27,8	76	0
14-06-2022	28,7	74	
15-06-2022	27,5	82	
16-06-2022	26,7	86	4
17-06-2022	27,1	86	0
18-06-2022	27,3	82	8888
19-06-2022	28	82	
20-06-2022	28,9	76	0
21-06-2022	28,9	72	0
22-06-2022	28	83	15,4
23-06-2022	29,1	74	8888
24-06-2022	28	80	0
25-06-2022	28,8	76	0
26-06-2022	28	80	
27-06-2022	28,8	77	
28-06-2022	28	78	21,7
29-06-2022	28,4	70	
30-06-2022	27,7	74	0
01-07-2022	28,7	74	0
02-07-2022	29,1	76	0
03-07-2022	29,1	82	3
04-07-2022	29,5	74	13,6
05-07-2022	29,4	78	
06-07-2022	26,4	89	11,6
07-07-2022	28,6	80	16,8
08-07-2022	28,8	74	
09-07-2022	28,2	74	
10-07-2022	28,2	70	0
11-07-2022	28,7	69	0
12-07-2022	29,6	74	
13-07-2022	28,6	78	
14-07-2022	29	76	8888
15-07-2022	29,3	76	
16-07-2022	25,7	84	36
17-07-2022	27,9	79	11,8
18-07-2022	28,2	78	0
19-07-2022	28,9	76	0
20-07-2022	29,6	75	
21-07-2022	28,7	76	

22-07-2022	29,1	71	0
23-07-2022	28,9	75	0
24-07-2022	28,8	77	
25-07-2022	28,8	74	
26-07-2022	29	67	0
27-07-2022	28,9	69	0
28-07-2022	29,2	70	
29-07-2022	29,2	73	
30-07-2022	28,8	77	0
31-07-2022	28,7	77	
01-08-2022	29	72	0
02-08-2022	29,3	73	
03-08-2022	29,7	72	0
04-08-2022	28,1	82	7,1
05-08-2022	28	82	15,4
06-08-2022	28,1	76	
07-08-2022	28,1	78	2,6
08-08-2022	28,7	70	0
09-08-2022	29,1	67	
10-08-2022	29,6	69	
11-08-2022	29,7	71	0
12-08-2022	29,6	76	0
13-08-2022	29,3	72	
14-08-2022	29,2	76	
15-08-2022	29	76	0
16-08-2022	28,9	74	8888
17-08-2022	28,6	79	6,4
18-08-2022	29,4	70	
19-08-2022	30	62	0
20-08-2022	29,7	68	0
21-08-2022	29,3		
22-08-2022	27,5	80	
23-08-2022	29,6	73	0
24-08-2022	29,1	74	0
25-08-2022	29,4	65	
26-08-2022	28,9	72	
27-08-2022	28,6	76	0
28-08-2022	28,4	78	
29-08-2022	28,4	77	0
30-08-2022	28,5	72	
31-08-2022	29,3	70	0
01-09-2022	29,1	73	0
02-09-2022	29,3	76	0,5
03-09-2022	28,3	76	
04-09-2022	28,8	70	0

05-09-2022	29,4	74	0
06-09-2022	30	70	0,2
07-09-2022	27,4	85	0,2
08-09-2022	26,8	86	5,8
09-09-2022	26,4	86	1,5
10-09-2022	26,7	84	55,8
11-09-2022	27,7	81	
12-09-2022	28,1	80	23,4
13-09-2022	28,5	78	0
14-09-2022	28,9	69	
15-09-2022	28,6	72	
16-09-2022	29,4	66	0
17-09-2022	29,2	73	0
18-09-2022	28,9	77	
19-09-2022	29,8	69	1,2
20-09-2022	28,7	68	0
21-09-2022	28,5	75	0
22-09-2022	27,7	81	
23-09-2022	27,8	81	21,4
24-09-2022	29,3	72	0
25-09-2022	29,3	72	0
26-09-2022	30	67	
27-09-2022	28,7	73	10,5
28-09-2022	29,6	67	0
29-09-2022	29,6	70	0
30-09-2022	29	72	
01-10-2022	29,9	74	
02-10-2022	28,2	78	0
03-10-2022	28,7	77	15,8
04-10-2022	28,1	78	1,6
05-10-2022	27,4	87	26
06-10-2022	27,9	78	0
07-10-2022	27,2	85	48,6
08-10-2022	28,1	74	1,2
09-10-2022	27,8	77	
10-10-2022	28	76	0
11-10-2022	27,8	80	0
12-10-2022	28,3	73	17
13-10-2022	27,4	80	
14-10-2022	28,9	70	21
15-10-2022	27,8	82	0
16-10-2022	27,8	82	12,2
17-10-2022	28,6	80	
18-10-2022	28	81	3,8
19-10-2022	27,5	81	0

20-10-2022	28,2	80	20,2
21-10-2022	28,4	76	
22-10-2022	28,7	78	0
23-10-2022	28,7	76	34,8
24-10-2022	29,1	69	
25-10-2022	27,4	80	
26-10-2022	27	81	17,3
27-10-2022	28,5	74	8888
28-10-2022	29,8	60	
29-10-2022	29,2	70	
30-10-2022	29,1	68	0
31-10-2022	29,4	71	0
01-11-2022	29,3	72	
02-11-2022	29,2	76	
03-11-2022	29,1	75	0
04-11-2022	28,9	75	0
05-11-2022	28	78	27,6
06-11-2022	27,9	79	
07-11-2022	27,5	83	2,2
08-11-2022	27,5	80	0,4
09-11-2022	28	78	7,7
10-11-2022	27,6	82	8888
11-11-2022	28	76	13,5
12-11-2022	27,6	81	0,6
13-11-2022	27,2	83	8888
14-11-2022	28,3	78	
15-11-2022	29	73	0,5
16-11-2022	28,7	76	0
17-11-2022	26,1	89	42,4
18-11-2022	28,3	76	10,5
19-11-2022	28,9	74	8888
20-11-2022	29,5	70	0
21-11-2022	29,7	66	
22-11-2022	29,4	70	
23-11-2022	28,8	71	
24-11-2022	28,6	76	2,7
25-11-2022	27,8	76	
26-11-2022	27,2	82	
27-11-2022	27,7	80	17,2
28-11-2022	28,6	79	2
29-11-2022	28,6	78	16,8
30-11-2022	28,2	78	
01-12-2022	28,4	76	0
02-12-2022	28,1	78	8888
03-12-2022	28,3	76	4

04-12-2022	28,4	77	
05-12-2022	28,6	76	0
06-12-2022	27,9	80	0
07-12-2022	28,2	80	8888
08-12-2022	27,8	80	
09-12-2022	27,2	82	2,6
10-12-2022	27,9	77	14,1
11-12-2022	28,9	70	0,2
12-12-2022	28	77	
13-12-2022	28,5	69	2
14-12-2022	28,1	77	0
15-12-2022	30,3	65	
16-12-2022	28,4	73	
17-12-2022	28,3	80	1,5
18-12-2022	28,3	82	1,7
19-12-2022	28,6	75	4,8
20-12-2022	28,3	76	
21-12-2022	28,5	80	0
22-12-2022	28,4	79	1
23-12-2022	27,2	82	38,5
24-12-2022	27,4	85	2,8
25-12-2022	26,4	86	1,5
26-12-2022	26,6	87	14,9
27-12-2022	26,3	81	6,3
28-12-2022	25,9	84	0,9
29-12-2022	26,2	84	34
30-12-2022	26,3	87	1,2
31-12-2022	26,2	86	4,6

Keterangan :

8888: data tidak terukur

9999: Tidak Ada Data (tidak dilakukan pengukuran)

Tavg: Temperatur rata-rata (°C)

RH_avg: Kelembapan rata-rata (%)

RR: Curah hujan (mm)



PREDIKSI CURAH HUJAN DI
PROVINSI DKI JAKARTA
MENGUNAKAN METODE
REGRESI
by agung firmana

Submission date: 14-Aug-2023 09:23AM (UTC+1000)

Submission ID: 2145342619

File name: RAH_HUJAN_DI_PROVINSI_DKI_JAKARTA_MENGUNAKAN_METODE_REGRESI.txt (13.85K)

Word count: 1986

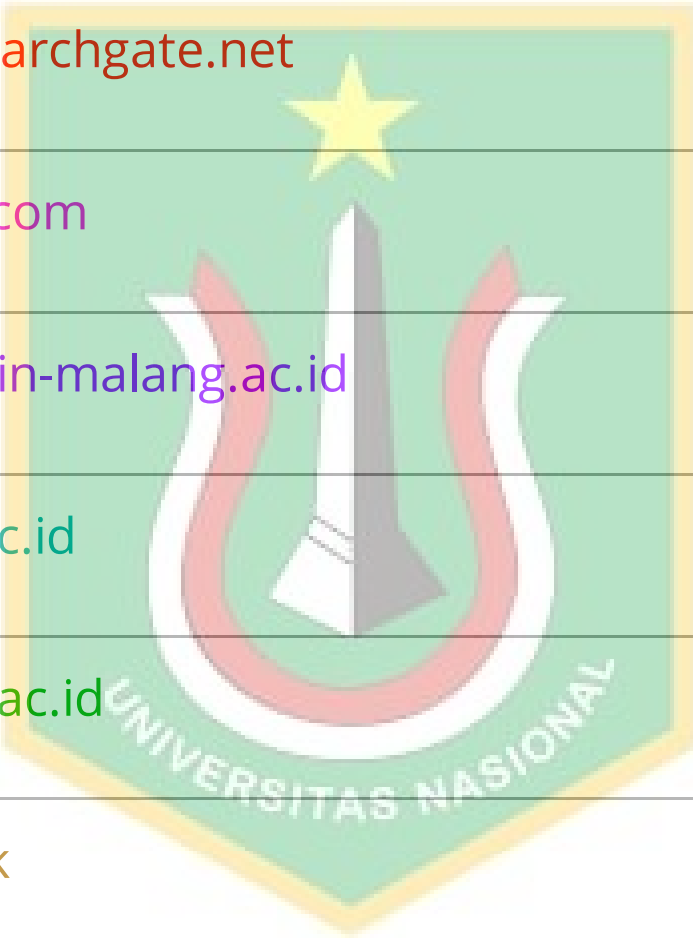
Character count: 12021

PREDIKSI CURAH HUJAN DI PROVINSI DKI JAKARTA MENGUNAKAN METODE REGRESI

ORIGINALITY REPORT

11 %	10 %	1 %	1 %
SIMILARITY INDEX	INTERNET SOURCES	PUBLICATIONS	STUDENT PAPERS

PRIMARY SOURCES



1	www.researchgate.net Internet Source	4 %
2	pt.scribd.com Internet Source	2 %
3	etheses.uin-malang.ac.id Internet Source	1 %
4	iptek.its.ac.id Internet Source	1 %
5	digilib.itb.ac.id Internet Source	1 %
6	core.ac.uk Internet Source	<1 %
7	repository.stiedewantara.ac.id Internet Source	<1 %
8	Yopianus Yayat, Darussalam Darussalam, Rini Susana. "THE EFFECT OF RICE HUSK BIOCHAR AND NPK FERTILIZER ON THE GROWTH AND	<1 %

YIELD OF RADISH IN RED YELLOW PODSOLIC SOIL", Jurnal Sains Pertanian Equator, 2022

Publication

9	garuda.ristekbrin.go.id Internet Source	<1 %	
10	jia-xiang.biz Internet Source	<1 %	
11	www.scribd.com Internet Source	<1 %	
12	puslitbang.bmkg.go.id Internet Source	<1 %	
13	repositori.uin-alauddin.ac.id Internet Source	<1 %	
Exclude quotes	<input checked="" type="checkbox"/> On	Exclude matches	<input type="checkbox"/> Off
Exclude bibliography	<input checked="" type="checkbox"/> On		

